

## УПРАВЛЕНИЕ ПАРАМЕТРАМИ ЛАЗЕРНОГО ИЗЛУЧЕНИЯ

# Модуляция и усиление волновых пакетов в усилителях с бегущей волной показателя преломления

И.О.Золотовский, А.С.Кадочкин, В.А.Лапин, Д.Г.Санников, М.С.Явтушенко

*Исследованы условия частотной модуляции, спектрального уширения и усиления гауссова импульса – волнового пакета (ВП) типа моды шепчущей галереи (МШГ), распространяющегося по спиральной траектории на поверхности активного световода в форме цилиндра, в котором создается бегущая волна показателя преломления (БВП). Получены аналитические выражения для зависимостей длительности, чирпа и спектральной ширины импульса от проходного им по волноводу расстояния, параметров световода и вводимого в него излучения. Показано, что взаимодействие волнового пакета с БВП приводит к сильной частотной модуляции усиливаемого импульса при сохраняющейся линейности чирпа. Указано, что данное обстоятельство может быть использовано для генерации пико- и субпикосекундных импульсов с пиковыми мощностями свыше 100 кВт.*

**Ключевые слова:** световоды, бегущая волна показателя преломления, усиление импульсов, частотная модуляция импульсов.

## 1. Введение

Известно, что при распространении светового импульса по световоду, в котором сформирована бегущая волна показателя преломления (БВП), могут наблюдаться эффекты, отсутствующие в световодах со стационарными параметрами [1, 2]. Так, в работах [3–5] исследовались эффекты, связанные с изменением поляризации и смещением несущей частоты квазимонохроматических волновых пакетов под влиянием БВП. В работах [6–9] рассматривалось формирование солитоноподобных волновых пакетов, а также развитие индуцированной модуляционной неустойчивости и генерация пикосекундных импульсов в подобного рода световодах. При этом синхронизация скоростей БВП и модулируемого электромагнитного излучения является сложной задачей. В настоящей работе рассматривается схема синхронизации БВП и волновых пакетов типа моды шепчущей галереи (МШГ), распространяющихся по поверхностям соответствующих модулируемых волноводов.

Поверхностные волны типа МШГ возникают в осесимметричных системах и формируются на изогнутых границах раздела двух сред и, несмотря на давнюю историю [10], остаются интересными для исследователей в разных областях физики. Электромагнитные МШГ могут быть обнаружены, например, в диэлектрических волноводах сферической, сфероидальной, тороидальной, цилиндрической форм [2, 11, 12]. В последнем случае подобного рода волновые пакеты распространяются вдоль по-

верхности кварцевого световода в форме цилиндра по спирали с постоянным шагом, в силу чего они получили название туннелирующих мод [13]. Среди особенностей таких спиральных волн важным является то обстоятельство, что их продольная (вдоль оси световода) групповая скорость может быть сколь угодно меньше скорости света в вакууме [7, 14].

Рассмотрим динамику волнового пакета типа МШГ в световоде с БВП. Модулируемые и усиливаемые волновые пакеты (ВП) вводятся в цилиндрический световод таким образом, что они распространяются вдоль него по спирали (рис.1), причем величина шага спирали определяет продольную компоненту групповой скорости ВП. Благодаря малому шагу спирали [7–9] можно синхронизировать скорости модулируемого ВП и БВП и, в конечном итоге, обеспечить эффективные усиление и модуляцию ВП.

## 2. Основные уравнения

При введении света в цилиндрический волновод под некоторым углом  $\theta$  к образующей цилиндра (рис.2) поверхностная волна распространяется по спиральной (см. рис.1) траектории [7]. Продольная ( $\beta_z$ ) и поперечная (радиальная,  $\beta_r$ ) компоненты волнового вектора  $\beta = n_0\omega/c$  такой волны связаны соотношением  $\beta_z = (\beta^2 - \beta_r^2)^{1/2}$ , где  $n_0(\omega)$  – показатель преломления материала световода. Если угол ввода волны в световод  $\theta$  мал, т. е. направление ввода находится достаточно близко к поперечному сечению световода (линия б на рис.2), то распространение волны вдоль его оси существенно замедляется вплоть до нулевых значений (при  $\theta = 0$ ) продольной компоненты скорости:  $V_z \rightarrow 0$ .

В дальнейшем мы рассматриваем случай поверхностной волны, медленно туннелирующей вдоль продольной оси световода  $z$  со скоростью  $V_z \ll c$ , что возможно при  $\beta_z \ll \beta \approx \beta_r$ . В этом случае электрическое поле волны можно представить в следующем виде:

И.О.Золотовский, А.С.Кадочкин, В.А.Лапин, Д.Г.Санников, М.С.Явтушенко. Ульяновский государственный университет, Россия, 432970 Ульяновск, ул. Льва Толстого, 42; e-mail: rafzol.14@mail.ru, myavtushenko@mail.ru

Поступила в редакцию 16 июня 2020 г., после доработки – 19 августа 2020 г.

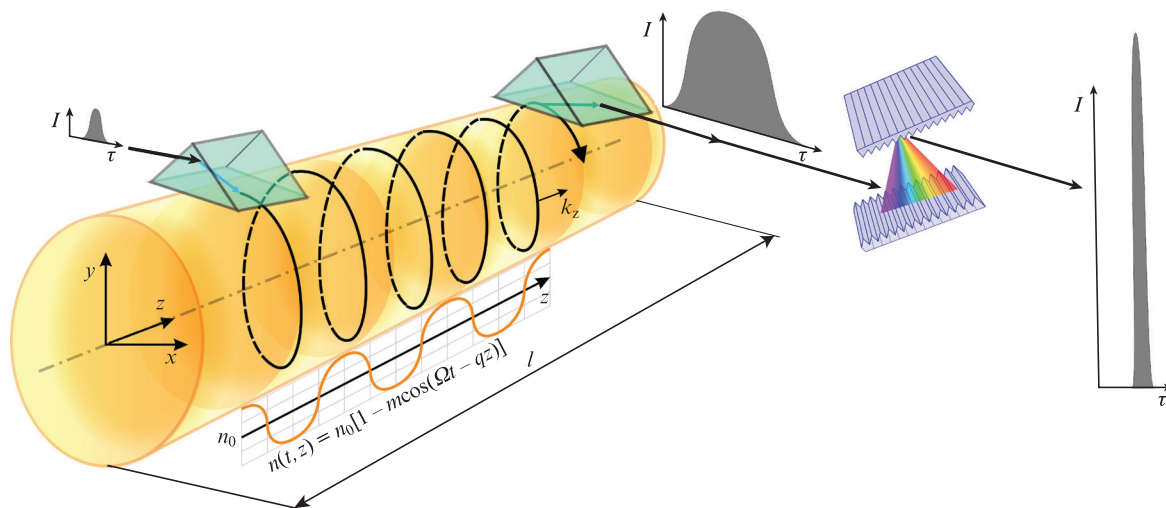


Рис.1. Схема эксперимента по усилению и частотной модуляции ВП в световоде с БВПП и дальнейшего сжатия пакета. Изображены призмный вариант ввода излучения в световод, туннелирующая оптическая волна (спираль), БВПП, входной и выходной импульсы, пара дифракционных решеток-компрессоров.

$$E(z, t, r, \varphi) = A(z, t)\Phi(z, r, \varphi) \times \exp\left(i\omega t - i \int_0^z \beta_z(z) dz\right) + c.c., \quad (1)$$

где  $A(z, t)$  – медленно меняющаяся амплитуда, описывающая продольное (вдоль оси  $z$ ) распределение поля туннелирующей волны, а  $\Phi(z, r, \varphi)$  – функция, определяющая радиальную и азимутальную зависимости поля в световоде.

Пусть в цилиндрическом световоде возбуждена БВПП, и его показатель преломления (ПП) определяется как [1–3, 7–9]

$$n(t, z) = n_0[1 - m \cos(\Omega t - qz + \psi)] + n^{(2)}I, \quad (2)$$

где  $\Omega$  – частота модуляции БВПП;  $q = 2\pi/\Lambda$  – волновое число;  $\Lambda$  – период пространственной неоднородности БВПП;  $V_m = \Omega/q$  – скорость перемещения (фазовая скорость) БВПП;  $m = \Delta n/n_0$  – глубина модуляции БВПП;  $\Delta n$  – амплитуда изменения БВПП;  $\psi$  – фазовый сдвиг, определяющийся временем рассогласования в точке ввода между максимумом БВПП и максимумом огибающей ВП;  $I = |A|^2$  – интенсивность распространяющегося излучения;  $n^{(2)}$  – нелинейный показатель преломления [15].

Пусть в световод под углом  $\theta$  к его поперечному сечению, попутно с БВПП вида (2), вводится гауссов частотно-модулированный (ЧМ) импульс вида [15, 16]

$$A(z = 0, t) = A_0 \exp[-(\tau_0^2/2 - i\alpha_0)t^2], \quad (3)$$

где  $A_0$  – пиковое значение амплитуды импульса на входе в световод;  $\tau_0$  и  $\alpha_0$  – начальные длительность и скорость частотной модуляции (чирп) импульса. В этом случае траектория волнового пакета имеет вид спирали, шаг которой зависит от угла  $\theta$  (рис.2). При синхронизации скоростей ВП и БВПП, когда выполняется условие  $V_z = V_m$ , имеем  $\sin \theta = nV_z/c = nV_m/c \approx \theta$ . Кроме того, будем считать ВП и БВПП синхронизированными по времени, когда максимум огибающей ВП движется вместе с максимумом БВПП, т. е.  $\psi = 0$ .

Перейдем в систему отсчета, связанную с движущимся по спирали оптическим импульсом. Эффективная оптиче-

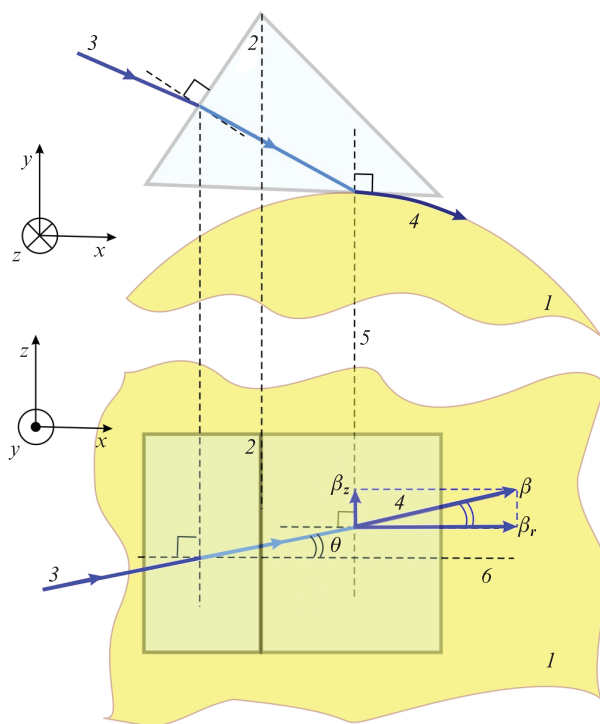


Рис.2. Схема ввода излучения в световод с помощью призмы [23] – вид на призму и световод в поперечнике (вверху) и на световод и призму сверху (внизу):

1 – световод; 2 – призма; 3 – вводимое излучение; 4 – поверхностная волна; 5, 6 – образующая цилиндрического волновода и его поперечное сечение;  $\theta$  – угол между направлением ввода излучения в цилиндрический волновод и его поперечным сечением;  $\beta$ ,  $\beta_z$ ,  $\beta_r$  – волновой вектор и его продольная и поперечная компоненты.

ская длина  $\xi$ , проходимая импульсом по поверхности световода, связана с углом его ввода  $\theta$ :  $\partial \xi = \partial z / \sin \theta \approx (cnV_m) \partial z$ , а связанное с ВП бегущее время  $\tau = t - (\partial \beta / \partial \omega)_{\omega=\omega_0} \xi \approx t - n \xi / c$ . Тогда динамика ВП в координатах  $(\xi, \tau)$  с учетом (2) может быть описана следующим соотношением [15]:

$$\frac{\partial A}{\partial \xi} - i \frac{d_2}{2} \frac{\partial^2 A}{\partial \tau^2} + \frac{d_3}{6} \frac{\partial^3 A}{\partial \tau^3} + iR \left( |A|^2 - \tau_R \frac{\partial |A|^2}{\partial \tau} \right) A =$$

$$= i\beta m \cos[\Omega(\tau - \delta\tau)] A + gA. \quad (4)$$

Здесь  $d_n = (\partial^n \beta / \partial \omega^n)_{\omega_0}$  ( $n = 1, 2, 3$ ) – дисперсионные параметры высших порядков;  $\tau_R$  – параметр, характеризующий эффект вынужденного комбинационного саморассеяния среды [15, 16], приблизительно равный нелинейному времени ее отклика;  $g(\omega) = g_0[1 + (\omega - \omega_{\text{res}})^2 / \Delta\omega_{\text{lin}}^2]^{-1}$  – коэффициент усиления активного световода;  $\omega_{\text{res}}$  – резонансная частота линии усиления;  $\Delta\omega_{\text{lin}}$  – ширина линии усиления активной среды;  $R = \omega_0 n^{(2)} / (c S_{\text{eff}})$  – параметр нелинейности, где

$$S_{\text{eff}}(z) = \left( \int_{-\pi}^{\pi} \int_0^{\infty} r |\Phi(z, r, \varphi)|^2 d\varphi dr \right)^2 \times \left( \int_{-\pi}^{\pi} \int_0^{\infty} r |\Phi(z, r, \varphi)|^4 d\varphi dr \right)^{-1} \quad (5)$$

– эффективная площадь моды волнового пакета.

Следует отдельно отметить, что при достаточно большой глубине модуляции ПП, когда  $|m| \gg 10^{-5}$ , можно говорить о возможности «затягивания» волнового пакета в область максимума показателя преломления БВПП даже в том случае, если изначально у ВП типа МШГ нет продольной составляющей групповой скорости, т.е. когда  $\beta_z = 0, \beta_r = \beta$ .

Таким образом, описаны два сценария реализации медленного туннелирования волны вдоль цилиндра с распространяющейся в нем БВПП. Очевидно, что оптимальная синхронизация туннелирующего ВП и БВПП достигается в результате сочетания двух факторов: ввода ВП под малым углом  $\theta$ , при котором  $V_z \approx V_m$ , и удержания режима автосинхронизации ВП с максимумом ПП за счет большой глубины модуляции  $m$ . При этом как в первом, так и во втором случае с хорошей степенью точности можно считать, что  $\delta\tau \rightarrow 0$ .

Рассматриваемое взаимодействие ВП и БВПП на практике может быть реализовано при возбуждении в световоде акустической волны, фазовая скорость которой  $V_m \approx 6000$  м/с. В кварцевом световоде со стандартным значением ПП  $n \approx 1.5$  для синхронизации туннелирующего ВП и БВПП необходимо иметь  $\theta \approx V_m n / c \approx 3 \times 10^{-5}$ . При этом глубина модуляции  $m$  может достигать больших значений:  $m = 4 \times 10^{-4}$  [17].

Усиление в соответствующем цилиндрическом световоде с большой площадью поверхности можно реализовать за счет его легирования (например, ионами эрбия, висмута или иттербия) и использования стандартных способов накачки через оболочку [18–20].

Заметим, что предлагаемая схема генерации широкополосных импульсов имеет определенные аналогии с известным в квантовой электронике режимом бегущей волны накачки, в котором ее движение по активной среде синхронизируется с движением генерируемого импульса [17, 21, 22]. Вероятно, в этом случае глубина модуляции может достигать (не превышая)  $m \sim 10^{-5}$ , а эффективная длина взаимодействия может значительно превышать метровые длины.

Численный анализ уравнения (4) с учетом влияния дисперсионных эффектов высших порядков показывает, что на участке активного световода, для которого справедливо неравенство  $\xi \ll \tau_0^2 / |d_2|$ , с хорошей степенью точности (см. Приложение) можно считать, что

$$\alpha(\xi) \approx \alpha_0 + m n_0 \omega_0 \Omega^2 \xi / c, \quad (6a)$$

при этом что длительность ВП на этой длине остается практически неизменной, т.е.

$$\tau_p(\xi) = \tau_0. \quad (6b)$$

В этом случае при взаимодействии ВП с БВПП возможна его сверхбыстрая модуляция при сохраняющейся линейности chirpa и растущей ширине спектра. Это в свою очередь делает возможным дальнейшее сжатие импульса с помощью стандартных методов, например на дифракционных решетках (см. рис.1). Если же у импульса сформировался отрицательный chirp, то для дальнейшего сжатия импульса можно использовать обычный световод с нормальной материальной дисперсией.

В соответствии с [15] минимально возможная длительность импульса после его компрессии

$$\tau_{\text{min}} \approx \Delta\omega^{-1} \approx |\alpha(L)\tau_p(L)|^{-1} \quad (7)$$

( $L$  – длина пути, пройденного ВП по поверхности световода), а ширина линии импульса с огибающей вида (2)

$$\Delta\omega = \tau_p^{-1} \sqrt{1 + \alpha^2 \tau_p^4}. \quad (8)$$

Пусть исходный импульс с длительностью  $\tau_0 = 10^{-11}$  с и нулевым начальным chirпом  $\alpha_0 = 0$  (т.е. импульс является спектрально ограниченным) вводится в световод-модулятор со следующими параметрами: глубина и частота модуляции  $m\beta = \pm 10^4$  м<sup>-1</sup> и  $\Omega = 5 \times 10^{10}$  с<sup>-1</sup> соответственно, дисперсия групповых скоростей  $|d_2| = 10^{-26} - 10^{-27}$  с<sup>2</sup>/м. Тогда на выходе из такого световода длиной  $l = 4$  см импульс приобретет эффективный chirp  $|\alpha(L)| \approx 10^{24}$  с<sup>-2</sup>, а его длительность существенным образом не изменится. Впоследствии, после пропускания такого импульса через диспергирующий элемент, обеспечивающий временную компрессию импульса (например, через дифракционную решетку, см. рис.1), его длительность может уменьшиться в 100 раз, до  $10^{-13}$  с.

### 3. Численное моделирование

С помощью численного моделирования уравнений распространения (4) рассмотрим возможности спектрального уширения и усиления ЧМ импульса вида (2) с сохранением линейной скорости частотной модуляции в активной среде с БВПП. При численном моделировании использовался фурье-метод расщепления по физическим параметрам (SSFM-метод) [15].

На рис.3 представлена динамика огибающей ЧМ импульса (рис.3,а) и его спектра (рис.3,б) в активном световоде с реализуемой БВПП при нелинейности  $R = 10^{-7}, 10^{-5}, 10^{-3}$  Вт<sup>-1</sup>·м<sup>-1</sup> (кривые 1–3 соответственно). Начальные параметры вводимого импульса: длительность  $\tau_0 = 10^{-11}$  с, пиковая мощность  $P_0 = 10$  Вт. Кроме того, мы полагаем, что на входе в световод-модулятор импульс является спектрально ограниченным, т.е.  $\alpha_0 = 0$ . Параметры среды с реализуемой БВПП следующие: частота БВПП  $\Omega = 10^9$  с<sup>-1</sup>, глубина модуляции ПП  $\Delta n = 10^{-4}$ , волновое число  $\beta = 10^7$  м<sup>-1</sup>, нормальная дисперсия второго порядка  $d_2 = 10^{-26}$  с<sup>2</sup>/м и дисперсия третьего порядка  $d_3 = 10^{-39}$  с<sup>3</sup>/м. Оптическая длина пути импульса в световоде  $\xi$  взята равной 500 м. При этом предполагается, что  $\delta\tau \rightarrow 0$ . Па-

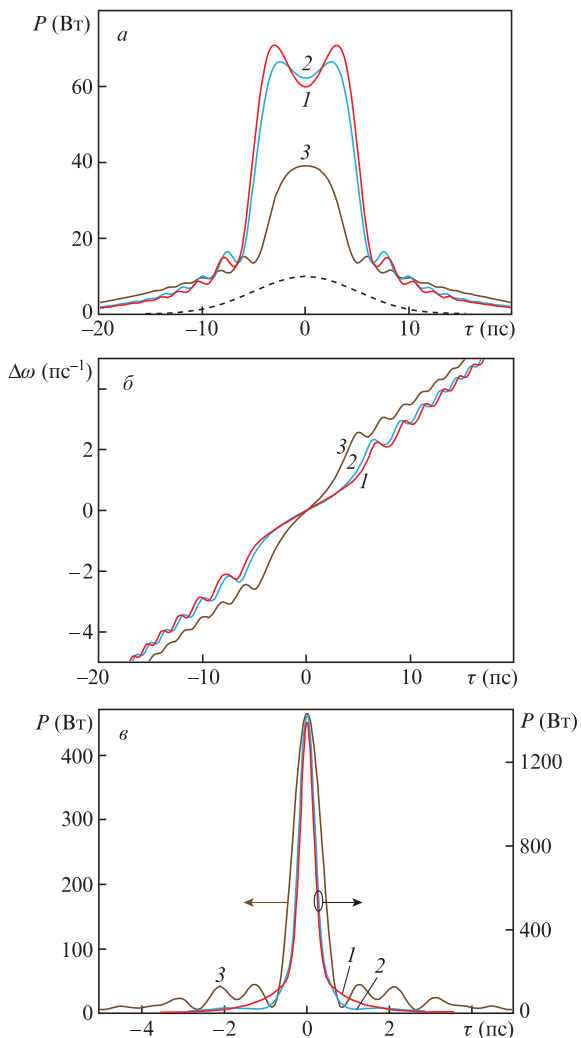


Рис.3. Динамика огибающей (а), спектра (б) импульса в световоде с БВПП, а также его последующее сжатие (е) на решетке с дисперсионным параметром  $D_g = -10^{-24} \text{ с}^2$ . Параметры моделирования:  $R = 10^{-7}, 10^{-5}, 10^{-3} \text{ Вт}^{-1} \cdot \text{м}^{-1}$  (1–3), ширина линии усиления  $\Delta\omega_{\text{lin}} = 10^{11} \text{ с}^{-1}$ . Параметры входного импульса (штриховая кривая): длительность  $\tau_0 = 10^{-11} \text{ с}$ , пиковая мощность  $P_0 = 10 \text{ Вт}$ . Цветные варианты рис.3 и 4 помещены на сайте нашего журнала <http://www.quantum-electron.ru>.

параметры линии усиления среды таковы:  $g(\omega) = g_0[1 + (\omega - \omega_0)^2/\Delta\omega_{\text{lin}}^2]^{-1}$ ,  $g_0 \approx 10^{-2} \text{ м}^{-1}$ ,  $\Delta\omega_{\text{lin}} = 10^{11} \text{ с}^{-1}$ . Как видно из рис.3,б, импульс приобретает практически линейный чирп, значительно уширяется, а его пиковая мощность на выходе из световода с БВПП увеличивается в четыре (кривые 1, 2) и шесть (кривая 3) раз. Пропустив затем такой импульс через диспергирующий элемент (в нашем случае – через дифракционную решетку с  $D_g = -10^{-24} \text{ с}^2$  [15, 16]), можно обеспечить его сильное сжатие, при этом его пиковая мощность возрастет более чем на порядок. Из рис.3 следует, что широкополосный ВП с шириной спектра  $\Delta\omega > 10^{12} \text{ с}^{-1}$  может эффективно усиливаться, сохраняя свою форму, в среде со значительно меньшей шириной линии усиления ( $\Delta\omega_{\text{lin}} = 10^{11} \text{ с}^{-1}$ ). При этом импульс в соответствующем усилителе сохраняет практически линейный чирп, что обеспечивает его дальнейшее эффективное сжатие на дифракционной решетке до субпикосекундных длительностей и киловаттных пиковых мощностей. Из рис.3 видно, что эффективность усиления определяется величиной кубической (керровской) нели-

нейности  $R$ . В данном случае при достигаемых мощностях эффективность усиления выходит на некоторые оптимальные значения при  $R < 10^{-3} \text{ Вт}^{-1} \cdot \text{м}^{-1}$ . Уменьшить влияние нелинейности можно за счет увеличения эффективной площади  $S_{\text{eff}}$  (расфокусировки) модулируемого и усиливаемого волнового пакета [15]. При этом эффективное усиление импульса с шириной спектра свыше 10 нм оказывается возможным (в случае использования усилителей с БВПП) даже при ширине линии усилителя менее 0.1 нм. С другой стороны, использование более широкополосных усилителей способно обеспечить генерацию импульсов с существенно большей, чем у узкополосных усилителей, энергией.

На рис.4 приведены результаты расчета динамики широкополосного волнового пакета, распространяющегося в модулированном усилителе с шириной линии усиления  $\Delta\omega_{\text{lin}} = 10^{12} \text{ с}^{-1}$ . Прочие параметры вводимого излучения и среды такие же, как и для рис.3. Видно, что энергия получаемых импульсов значительно больше, чем в предыдущем случае, и что эффективность конечной компрессии импульсов определяется величиной эффективного нелинейного параметра  $R$ : для используемых начальных параметров  $g_0 \approx 10^{-2} \text{ м}^{-1}$  и  $P_0 = 10 \text{ Вт}$  степень конечной компрессии для нелинейностей  $R < 10^{-5} \text{ Вт}^{-1} \cdot \text{м}^{-1}$

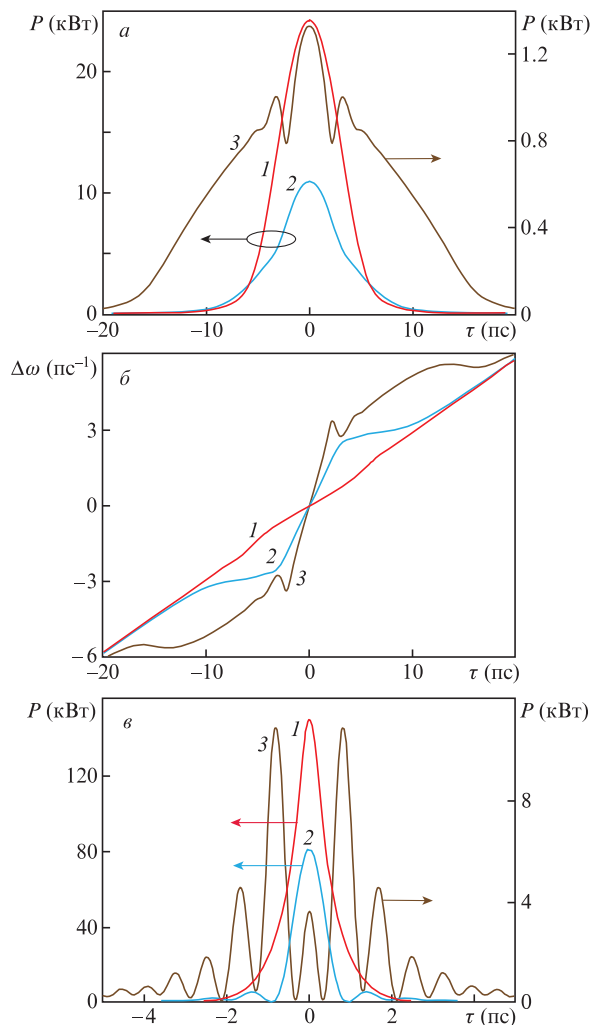


Рис.4. Динамика огибающей (а) и спектра (б) импульса в световоде с БВПП, а также его последующее сжатие (е). Параметры моделирования:  $R = 10^{-7}, 10^{-5}, 10^{-3} \text{ Вт}^{-1} \cdot \text{м}^{-1}$  (1–3), ширина линии усиления  $\Delta\omega_{\text{lin}} = 10^{12} \text{ с}^{-1}$ , прочие параметры те же, что и на рис.1.

практически одинакова. При увеличении мощности импульсов (и росте нелинейных эффектов) волновой пакет в такой среде не сохраняется (кривые 3). В отличие от предыдущего случая, из рис.4 следует, что при тех же значениях нелинейности  $R$  сильнее всего «страдает» часть спектра импульса вблизи несущей частоты, поэтому чирп нельзя считать линейным в этой области. Таким образом, можно считать, что методика усиления ЧМ импульсов в средах со значительно более узкой полосой линии усиления является хорошим инструментом для их качественной компрессии и усиления.

Резюмируя, отметим, что возможность расфокусировки усиливаемого и модулированного пучков может обеспечить большую компрессию лазерного излучения (поскольку величина коэффициента нелинейности обратно пропорциональна эффективной площади пучка [15, 16]), при этом ширина линии усиления среды может быть значительно меньше ширины спектра импульса. Реализуемая БВПП стабилизирует усиливаемый ЧМ импульс, обеспечивая увеличение его энергии при сохранении формы.

#### 4. Заключение

В работе предложена схема синхронизации волнового пакета типа МШГ, туннелирующего по поверхности световода, и продольно бегущей волны показателя преломления. Показано, что в активных цилиндрических световодах-модуляторах с БВПП можно обеспечить спектральное уширение и усиление широкополосных ЧМ импульсов с сохраняющейся формой и шириной линии  $\Delta\omega > 10^{13} \text{ с}^{-1}$  включительно при использовании относительно узкополосных усилителей с шириной линии усиления не более  $10^{11} - 10^{12} \text{ с}^{-1}$ . С помощью численного моделирования показано, что при использовании модуляторов с БВПП пиковая мощность усиливаемых импульсов может быть увеличена на несколько порядков.

Работа поддержана Министерством высшего образования и науки РФ в рамках госзадания № 0830-2020-0009, а также РФФИ (проекты № 18-29-1910, 19-42-730005, 19-42-730013).

#### Приложение

Пусть динамика рассматриваемого ВП описывается уравнением (4). Если рассогласование скоростей волнового пакета и БВПП принять малым (т.е.  $\delta\tau \ll 10^{-11} \text{ с}$  при  $|\Omega|\tau_p \ll 1$ ), то можно считать, что  $\cos[\Omega(\tau - \delta\tau)] \approx 1 - \Omega^2(\tau - \delta\tau)^2/2$ .

Переходя в уравнении (4) к обозначениям  $A(\xi) = \bar{A}(\xi) \times \exp(g_0\xi)$  и  $R_1(\xi) = R \exp(2g_0\xi)$ , а также полагая, что  $d_3 \approx 0$ , получаем

$$\begin{aligned} \frac{\partial \bar{A}}{\partial \xi} - i \frac{d_2}{2} \frac{\partial^2 \bar{A}}{\partial \tau^2} + iR_1(z) \left( |\bar{A}|^2 - \tau_R \frac{\partial |\bar{A}|^2}{\partial \tau} \right) \bar{A} \\ = im\beta \left( 1 - \frac{1}{2} \Omega^2 (\tau - \delta\tau)^2 \right) \bar{A}, \end{aligned} \quad (\text{П1})$$

или

$$\begin{aligned} \frac{\partial \bar{A}}{\partial \xi} - i \frac{d_2}{2} \frac{\partial^2 \bar{A}}{\partial \tau^2} + iR_1(\xi) \left( |\bar{A}|^2 - \tau_R \frac{\partial |\bar{A}|^2}{\partial \tau} \right) \bar{A} \\ = i(S_0 + S_1\tau + S_2\tau^2) \bar{A}, \end{aligned} \quad (\text{П2})$$

где  $S_0 = m\beta(1 - \Omega^2\delta\tau^2/2)$ ;  $S_1 = m\beta\Omega^2\delta\tau$ ;  $S_2 = -m\beta\Omega^2/2$ .

В рассматриваемом нами случае динамического волновода максимуму показателя преломления БВПП соответствует глубина модуляции  $m < 0$ . Будем искать решение (П2) в виде

$$\begin{aligned} \bar{A} = a(\xi, \tau) \exp(i\Phi(\xi)) = a(\xi, \tau) \exp[i(\phi_0(\xi) \\ + \phi_1(\xi)\tau + \alpha(\xi)\tau^2)], \end{aligned} \quad (\text{П3})$$

где  $\Phi(\xi) = \phi_0(\xi) + \phi_1(\xi)\tau + \alpha(\xi)\tau^2$ ;  $a(\xi, \tau)$  – фаза и амплитуда ВП соответственно. Подставляя (П3) в (П2), получаем разложение

$$\begin{aligned} e^{i\Phi} \left\{ \frac{\partial a}{\partial \xi} + ia \left( \frac{\partial \phi_0}{\partial \xi} + \tau \frac{\partial \phi_1}{\partial \xi} + \tau^2 \frac{\partial \alpha}{\partial \xi} \right) - i \frac{d_2}{2} \right. \\ \times \left. \left[ \frac{\partial^2 a}{\partial \tau^2} + 2i(\phi_1 + 2\alpha\tau) \frac{\partial a}{\partial \tau} + (2i\alpha - \phi_1^2 - 4\tau^2\alpha^2 - 4\phi_1\alpha\tau) a \right] \right\} \\ + iR_1 e^{i\Phi} \left( |a|^2 - \tau_R \frac{\partial |a|^2}{\partial \tau} \right) a = ie^{i\Phi} (S_0 + S_1\tau + S_2\tau^2) a \end{aligned} \quad (\text{П4})$$

и, группируя слагаемые, получаем

$$\begin{aligned} \frac{\partial a}{\partial \xi} - i \frac{d_2}{2} \frac{\partial^2 a}{\partial \tau^2} + iR_1 \left( |a|^2 - \tau_R \frac{\partial |a|^2}{\partial \tau} \right) a \\ + i\tau^2 \left( \frac{\partial \phi_2}{\partial \xi} + 2d_2\alpha^2 \right) a + i\tau \left( \frac{\partial \phi_1}{\partial \xi} + 2d_2\phi_1\alpha \right) a \\ - i \frac{d_2}{2} \left[ 2i\phi_1 \frac{\partial a}{\partial \tau} + (2i\alpha - \phi_1^2) a \right] \\ + ia \frac{\partial \phi_0}{\partial \xi} + 2d_2\alpha\tau \frac{\partial a}{\partial \tau} = i(S_0 + S_1\tau + S_2\tau^2) a. \end{aligned}$$

Уравнение (П4) должно иметь смысл при любых значениях времени, поэтому слагаемые, содержащие константы и временные сомножители  $\tau$ ,  $\tau^2$ , должны в сумме давать нуль. Таким образом, получаем уравнения для фазовых параметров и амплитуды соответствующего волнового пакета. Первое уравнение:

$$\frac{\partial \alpha}{\partial \xi} + 2d_2\alpha^2 = S_2 = -\frac{1}{2} m\beta \Omega^2. \quad (\text{П5})$$

При  $d_2 > 0$  и  $m < 0$  реализуется волноводный режим – волна затягивается в область максимума показателя преломления БВПП, а решение для чирпа ВП имеет следующий вид:

$$\alpha(\xi) = \frac{\exp(2\sqrt{2S_2d_2}\xi) - 1}{\exp(2\sqrt{2S_2d_2}\xi) + 1} \sqrt{\frac{S_2}{2d_2}}. \quad (\text{П6})$$

При эффективной длине, много меньшей дисперсионной длины, когда  $\xi \ll \tau_0^2/|d_2|$ , соотношение (П6) сводится к соотношению (6).

Для параметра фазы  $\phi_1$ , определяющей линейное смещение частоты, получаем второе уравнение:

$$\frac{\partial \phi_1}{\partial \xi} + 2\alpha d_2 \phi_1 = S_1. \quad (\text{П7})$$

Третье уравнение получаем для параметра амплитуды  $a$ :

$$\frac{\partial a}{\partial \xi} + (d_2\phi_1 + 2d_2\alpha\tau) \frac{\partial a}{\partial \tau} - i \frac{d_2}{2} \frac{\partial^2 a}{\partial \tau^2} + iR_1 \left( |a|^2 - \tau_R \frac{\partial |a|^2}{\partial \tau} \right) a = F(\xi)a, \quad (\text{П8})$$

где

$$F(\xi) = i \left[ S_0 - \frac{\partial \phi_0}{\partial \xi} + \frac{d_2}{2} (2i\alpha - \phi_1^2) \right] = i \left( S_0 - \frac{\partial \phi_0}{\partial \xi} - \frac{d_2\phi_1^2}{2} \right) - d_2\alpha,$$

или, переходя к амплитуде

$$\bar{a} = a \exp\left(\int_0^\xi F(\xi) d\xi\right), \quad (\text{П9})$$

получаем

$$\frac{\partial \bar{a}}{\partial \xi} + (\eta_1 + \eta_2\tau) \frac{\partial \bar{a}}{\partial \tau} - i \frac{d_2}{2} \frac{\partial^2 \bar{a}}{\partial \tau^2} + iR_{\text{eff}} \left( |\bar{a}|^2 - \tau_R \frac{\partial |\bar{a}|^2}{\partial \tau} \right) \bar{a} = 0, \quad (\text{П10})$$

где  $\eta_1(\xi) = d_2\phi_1$ ;  $\eta_2(\xi) = 2d_2\alpha$ . При этом эффективная нелинейность

$$R_{\text{eff}}(\xi) = R_1(\xi) \exp\left(2 \int_0^\xi \text{Re}[F(\xi)] d\xi\right) = R_1(\xi) \times \exp\left(-\int_0^\xi \eta_2(\xi) d\xi\right) = R(\xi) \exp\left(2g_0\xi - \int_0^\xi \eta_2(\xi) d\xi\right). \quad (\text{П11})$$

Поскольку в нашем случае с хорошей точностью можно считать, что  $\delta\tau \rightarrow 0$  и, как следствие,  $\phi_1 \rightarrow 0$ , для  $\bar{a}$  справедливо

$$\frac{\partial \bar{a}}{\partial \xi} + 2\alpha d_2 \frac{\partial \bar{a}}{\partial \tau} - i \frac{d_2}{2} \frac{\partial^2 \bar{a}}{\partial \tau^2} + iR_{\text{eff}} \left( |\bar{a}|^2 - \tau_R \frac{\partial |\bar{a}|^2}{\partial \tau} \right) \bar{a} = 0. \quad (\text{П12})$$

Переходя в уравнении (П12) к новым координатам (длина и нормированное бегущее время),

$$\xi = \xi, \quad \tau' = \exp\left(-\int_0^\xi \eta_2(\xi) d\xi\right)\tau, \quad (\text{П13})$$

получаем для  $\bar{a}$  уравнение канонического вида (нелинейное уравнение Шрёдингера с параметром рамановского саморассеяния) [15]:

$$\frac{\partial \bar{a}}{\partial \xi} - i \frac{d_2^{\text{eff}}(\xi)}{2} \frac{\partial^2 \bar{a}}{\partial \tau'^2} + iR_{\text{eff}} \times \left[ |\bar{a}|^2 - \exp\left(-\int_0^\xi \eta_2(\xi) d\xi\right) \tau_R \frac{\partial |\bar{a}|^2}{\partial \tau'} \right] \bar{a} = 0, \quad (\text{П14})$$

где

$$d_2^{\text{eff}}(\xi) = \exp\left(-2 \int_0^\xi \eta_2(\xi) d\xi\right) d_2.$$

Проведенный анализ позволяет оценить некоторые важные особенности динамики ЧМ импульсов в условиях взаимодействия с БВПП. Так, из соотношений (П5), (П6) и (П14) следует, что в среде с нормальной дисперсией, в приближении, когда можно считать, что

$$R_{\text{eff}}(\xi)P_0/\tau_p'^2(\xi) < |m|\beta\Omega^2, \quad (\text{П15})$$

где

$$\tau_p'(\xi) = \tau_p(\xi) \exp\left(\int_0^\xi \eta_2(\xi) d\xi\right)$$

– нормированная длительность импульса, импульс сохраняет свою форму, а его энергия, длительность, chirp и, как следствие, ширина спектра увеличиваются (см. (8)). При этом скорость частотной модуляции (с большой степенью точности) остается линейной.

Также видно, что, поскольку в нашем случае  $\eta_2(\xi) = 2d_2\alpha > 0$ , наличие БВПП уменьшает влияние эффективного значения нелинейности, что приводит к дополнительной стабилизации системы при росте энергии модулируемого волнового пакета; кроме того, нормированная длительность импульса в среде с керровской нелинейностью и нормальной дисперсией дополнительно увеличивается.

1. Торчигин В.П. *Квантовая электроника*, **20** (3), 276 (1993) [*Quantum Electron.*, **23** (3), 235 (1993)].
2. Торчигин В.П. *Квантовая электроника*, **22** (5), 509 (1995) [*Quantum Electron.*, **22** (5), 484 (1995)].
3. Булюк А.Н. *Квантовая электроника*, **19** (10), 1018 (1992) [*Quantum Electron.*, **19** (10), 948 (1992)].
4. Торчигин В.П. *Квантовая электроника*, **20** (3), 283 (1993) [*Quantum Electron.*, **20** (3), 235 (1993)].
5. Булюк А.Н. *Квантовая электроника*, **22** (1), 75 (1995) [*Quantum Electron.*, **22** (1), 66 (1995)].
6. Адамова М.С., Золотовский И.О., Семенов Д.И. *Квантовая электроника*, **39** (3), 256 (2009) [*Quantum Electron.*, **39** (3), 256 (2009)].
7. Сычугов В.А., Магдич Л.Н., Торчигин В.П. *Квантовая электроника*, **31** (12), 1089 (2001) [*Quantum Electron.*, **31** (12), 1089 (2001)].
8. Zolotovskii I.O. et al. *J. Opt. Soc. Am. B*, **36** (10), 2877 (2019).
9. Золотовский И.О. и др. *Квантовая электроника*, **48** (9), 818 (2018) [*Quantum Electron.*, **48** (9), 818 (2018)].
10. Lord Rayleigh. *Phil. Mag.*, **20**, 1001 (1910).
11. Karakantzias G. et al. *Opt. Lett.*, **26**, 1137 (2001).
12. Снайдер А., Лав Дж. *Теория оптических волокон*. Пер. с англ. (М.: Радио и связь, 1987).
13. Иванов О.В., Никитов С.А., Гуляев Ю.В. *УФН*, **176** (2), 175 (2006) [*Phys. Usp.*, **49**, 167 (2006)].
14. Сычугов В.А., Торчигин В.П., Цветков М.Ю. *Квантовая электроника*, **32** (8), 738 (2002) [*Quantum Electron.*, **32** (8), 738 (2002)].
15. Агравал Г. *Нелинейная волоконная оптика*. Пер. с англ. (М.: Мир, 1996).
16. Ахманов С.А., Вислоух В.А., Чиркин А.С. *Оптика фемтосекундных лазерных импульсов* (М.: Наука, 1988).
17. Szab G. et al. *Appl. Phys. B. Photophys. Laser Chem.*, **34** (3), 145 (1984).
18. Limpert J. et al. *Opt. Express*, **11** (7), 818 (2007).
19. Дианов Е.М. *УФН*, **174** (10), 1139 (2004) [*Phys. Usp.*, **47**, 1065 (2004)].
20. Курков А.С., Дианов Е.М. *Квантовая электроника*, **34** (10), 881 (2004) [*Quantum Electron.*, **34** (10), 881 (2004)].
21. Polland H.J. et al. *Appl. Phys. B*, **32**, 53 (1983).
22. Bor Zs., Szatmari S., Muller A. *Appl. Phys. B. Photophys. Laser Chem.*, **32** (3), 101 (1983).
23. Abramov A.S. et al. *J. Opt. Soc. Am. B*, **37** (8), 2314 (2020).